

**ТЕРМОДИНАМИЧЕСКИЕ ХАРАКТЕРИСТИКИ
И ФАЗОВЫЕ ПЕРЕХОДЫ В КРИСТАЛЛАХ
ФТОРИСТЫХ КРИОЛИТОВ $Rb_3B^{3+}F_6$ (B^{3+} : Ga, Dy)**

© И.Н.Флёрое, М.В.Горев, В.Н.Воронов, А.Ф.Бовина

Институт физики им. Л.В.Киренского
Сибирского отделения Российской академии наук,
660036 Красноярск, Россия
(Поступила в Редакцию 8 февраля 1996 г.)

Выполнены термодинамические, оптические и рентгеновские исследования фазовых переходов в кристаллах Rb_3DyF_6 и Rb_3GaF_6 . Результаты обсуждаются в рамках концепции напряженностей связей.

Кристаллы семейства криолита с общей формулой $A_3^+B^{3+}X_6^-$ принадлежат к обширной группе перовскитоподобных кристаллов с трехмерным каркасом связанных вершинами октаэдрических ионных групп. Исходная высокотемпературная фаза этих соединений характеризуется кубической симметрией $Fm\bar{3}m$ ($z = 4$), и их можно рассматривать как частный случай структуры эльпасолита $A_2^+B^+B^{3+}X_6^-$ при $A^+ \equiv B^+$. В последних кристаллах наиболее вероятные и часто встречающиеся искажения решетки связаны со взаимными разворотами октаэдров на небольшие углы [1,2]. В этом случае фазовые переходы ($\Phi\Pi$) индуцируются двумя ротационными решеточными модами колебаний Γ_4^+ и/или X_2^+ [2-4]. Недавние систематические исследования влияния на $\Phi\Pi$ замещения атомов в различных кристаллографических позициях структуры фтористых эльпасолитов показали возможность реализации в них единичных, последовательных и триггерных превращений [2,5-8]. В кристаллической решетке криолита ионы одного и того же сорта A^+ занимают положения как в центре одного из октаэдров ($4b$), так и в межоктаэдрических полиядрах ($8c$). Переход от эльпасолитной структуры к криолитной сопровождается, как правило, резким повышением температуры потери устойчивости кубической фазы, что существенно затрудняет экспериментальные исследования. Именно поэтому кристаллы семейства криолита изучены менее детально, и сведения о $\Phi\Pi$ в них носят эпизодический и нередко противоречивый характер. Кроме того, структурные искажения, определенные экспериментально, не укладываются чаще всего в схему возможных искажений, связанных с малыми поворотами октаэдров [2,9]. Термодинамические свойства криолитов были надежно исследованы лишь для кристаллов с молекулярным катионом NH_4^+ [10-12]. Большие величины

энтропии ($\Delta S \simeq R \ln 16$) при ФП в этих соединениях объясняется изменением ориентационного упорядочения ионов $B^{3+}F_6$ и NH_4 , занимающего октаэдрические позиции.

Целью настоящей работы является изучение структурных параметров, двойникования, теплоемкости, энтропии и влияния гидростатического давления на ФП в криолитах с атомарными катионами, что позволит получить информацию об энергетических характеристиках и возможных механизмах структурных превращений. В качестве объектов исследования выбраны кристаллы Rb_3GaF_6 и Rb_3DyF_6 , в значительной мере отличающиеся размерами октаэдров $B^{3+}F_6$. ФП в этих криолитах были обнаружены при изучении фазовых диаграмм GaF_3-RbF [13] и DyF_3-RbF [14]. Согласно этим данным, диспрозиевый кристалл испытывает одно превращение $Fm\bar{3}m(z=4) \rightarrow I4_1/amd(z=16)$ в районе 440 К. В галлиевом соединении реализуется последовательность из трех ФП $Fm\bar{3}m(G_0) \rightarrow G_1 \rightarrow G_2 \rightarrow G_3$ соответственно при $T_1 = 658$ К, $T_2 = 380$ К и $T_3 = 365$ К. Авторы [13] отметили лишь значительное отличие спектров Дебая–Шеррера в фазах G_0 , G_1 и G_3 , не сообщив о симметрии и умолчав о фазе G_2 , возможно, ввиду узости температурного интервала ее существования. Выбранные кристаллы представляют также интерес с позиций рассмотрения результатов выполненного ранее изучения эльпасолитов $Rb_2KB^{3+}F_6$, в частности Rb_2KGaF_6 и Rb_2KDyF_6 , испытывающих единичные ФП, отличающиеся существенно как симметриями искаженных фаз, так и термодинамическими параметрами [2, 5, 15–17].

1. Экспериментальные методы

Соединения Rb_3DyF_6 и Rb_3GaF_6 были синтезированы из расплава RbF и соответственно DyF_3 и GaF_3 , взятых в стехиометрическом соотношении. Плавление исходных веществ осуществлялось в атмосфере аргона с добавлением 10% HF. Все оборудование, имеющее в ходе ростового эксперимента контакт со фторидами, было изготовлено только из платины и/или графита. Синтезированные вещества были очищены путем многократной расплавной перекристаллизации.

Исходная шихта диспрозиевого соединения загружалась в платиновую лодочку, помещенную в платиновую пробирку, и прокаливалась в вакууме при температуре 473 ± 50 К. Затем осуществлялся нагрев до температуры, превышающей температуру плавления на 50–100 К, при которой расплав выдерживался 4–5 h. При последующем охлаждении со скоростью 5–10 К/h получался бесцветный кристалл длиной около 30 mm, сегментообразной формы в сечении (в соответствии с формой лодочки), шириной 10 и высотой 5 mm. Кристалл не удавалось сохранить монолитным. Растрескивание его на небольшие блоки связано, скорее всего, с наличием в Rb_3DyF_6 высокотемпературного структурного превращения [14].

Эксперименты по выращиванию Rb_3GaF_6 по той же методике, что и диспрозиевого криолита, окончились неудачей. Из-за чрезвычайно высокого давления паров над расплавом галлиевых соединений вещество полностью испарялось. Не удалось добиться положительных результатов и при использовании других методик роста с открытыми или частично закрытыми платиновым и графитовым тиглями. Кристалл,

содержащий относительно большую часть прозрачного объема, был получен лишь при выращивании методом Бриджмена в вакуумированной и запаянной платиновой ампуле.

Идентификация выращенных соединений, а также фиксирование структурных искажений при ФП и определение параметров кристаллических ячеек выполнены порошковым методом по дебаеграммам. Эксперименты проводились на рентгеновском дифрактометре ДРОН-2 с высокотемпературной приставкой УВТ-2000.

Поскольку природа ФП в первоскитоподобных галоидных кристаллах, как правило, сегнетоэластическая, в первую очередь на выращенных кристаллах проводились исследования с помощью поляризационного микроскопа, позволяющие регистрировать температуры структурных превращений по появлению/исчезновению или изменению оптической анизотропии.

Сведения о теплоемкости, энтропии, скрытой теплоте и гистерезисе ФП были получены с помощью дифференциального сканирующего микрокалориметра ДСМ-2М и адиабатического вакуумного калориметра. Подробности последней методики применительно к измерениям теплоемкости при температурах выше комнатной описаны в [8].

Влияние гидростатического давления на ФП изучалось методом ДТА. Чувствительный элемент — термопара германий-медь — монтировалась в камере высокого давления типа цилиндр-поршень. Подробнее методика измерений описана в [18].

2. Результаты исследований

1) Rb_3DyF_6 . Из-за появления многочисленных трещин в кристалле при охлаждении после кристаллизации не удалось выбрать достаточно большой объем для изготовления ориентированных образцов, поэтому поляризационно-оптические исследования были выполнены на неориентированной пластинке. При комнатной температуре кристалл оказался оптически анизотропным. При нагревании двойниковая структура не меняется до температуры 380 К, выше которой кристалл становится изотропным. В процессе охлаждения ФП происходит в районе 365 К, и при этом наблюдается фазовый фронт.

При исследовании порошковых образцов массой 0.15–0.20 г с помощью калориметра ДСМ-2М в области температур 320–550 К обнаружены две аномалии теплоемкости (рис. 1,а). Одна из них имеет место при 380 К и совпадает с температурой исчезновения оптической анизотропии. Другая аномалия, «размытая» в интервале температур 380–430 К, наблюдалась лишь при первичном нагревании образца. При этом было обнаружено также уменьшение массы образца. Известно, что соединение Rb_3DyF_6 в виде порошка обладает относительно высокой гигроскопичностью [14]. В предположении, что вторая аномалия теплоемкости связана с освобождением образца от паров поглощенной влаги, была рассчитана энтальпия испарения массы воды, соответствующей потерям массы образца. Наблюдается хорошее согласие этой величины с энтальпией, связанной с высокотемпературным пиком теплоемкости. Были также выполнены измерения изменения массы образца Rb_3DyF_6 в зависимости от времени пребывания на воздухе. Основное увеличение массы (около 18%) происходит в течение 25 h. За

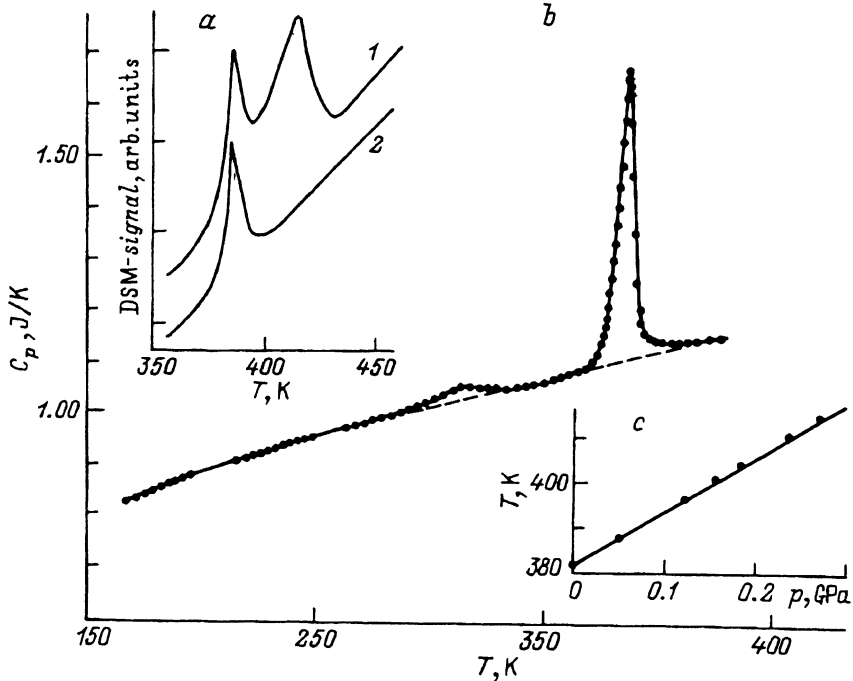


Рис. 1. Результаты теплофизических исследований соединения Rb_3DyF_6 .
 а — ДСМ-кривые: 1 — при первом нагреве, 2 — при повторном нагреве; б — температурная зависимость теплоемкости (линия — решеточный вклад); с — фазовая p - T -диаграмма.

следующие 100 h масса образца увеличилась лишь на 2%. В результате нагрева образца до 500 K масса его уменьшилась до исходной. Причем в результате этого опыта величина энталпии, связанной со структурным ФП, практически не изменилась, только соответствующая аномалия теплоемкости стала более «размытой». Приготовление порошковых образцов из монокристаллов в сухой атмосфере позволяет избежать их заметной гидратации.

Величина энтропии структурного превращения, определенная в серии опытов на образцах, приготовленных разными способами, составляет $\Delta S_1 = 5.74 \pm 0.85 \text{ J} \cdot \text{mol}^{-1} \cdot \text{K}^{-1}$.

Измерения теплоемкости в адиабатическом калориметре проводились на кристаллическом образце массой 1.518 g в интервале температур 165–425 K в режимах непрерывных и дискретных нагревов. Поскольку нас интересовали аномальные тепловые эффекты, на рис. 1, б представлена температурная зависимость теплоемкости системы образец+фурнитура. Обнаружены два пика теплоемкости при температурах $T_1 = 384.3 \pm 0.7 \text{ K}$ и $T_2 = 315 \pm 2 \text{ K}$, отличающиеся в значительной степени формой и величиной. Аномалия при T_1 связана со структурным превращением, о котором сообщалось в [14] и которое было зарегистрировано в поляризационно-оптических наблюдениях. ФП далек от трикритической точки, поскольку аномальная теплоемкость наблюдается лишь в узком интервале ($< 30 \text{ K}$) низкотемпературной фазы. Об этом свидетельствуют большой гистерезис температуры ФП $\delta T_1 = 11.8 \text{ K}$ и величина скачка энтропии δS_1 , составляющая $\geq 90\%$ от

полного ее изменения $\Delta S_1 = 5.37 \pm 0.50 \text{ J} \cdot \text{mol}^{-1} \cdot \text{K}^{-1}$. Последнее обстоятельство является причиной удовлетворительного согласия величин ΔS_1 , определенных в адиабатическом и сканирующем калориметрах.

Низкотемпературная аномалия теплоемкости невелика ($< 2.5\%$ от теплоемкости исследуемой системы) и представляет собой почти симметричный пик, слаженный в интервале температур 285–340 K (рис. 1, б). Соответствующее изменение энтропии кристалла составляет $\Delta S_2 = 0.83 \pm 0.11 \text{ J} \cdot \text{mol}^{-1} \cdot \text{K}^{-1}$.

Результаты изучения влияния гидростатического давления на ФП при T_1 представлены на рис. 1, с. Зависимость $T_1(p)$ является линейной в интервале исследованных давлений (0.3 GPa) с коэффициентом $dT_1/dp = 119 \pm 10 \text{ K} \cdot \text{GPa}^{-1}$. Что касается аномалии теплоемкости при T_2 , то из-за небольшого соответствующего теплового эффекта она не могла быть зарегистрирована методом ДТА даже с чувствительной термопарой германий–медь.

В соответствии с данными оптических и калориметрических измерений рентгеновские исследования на порошках, полученных от монокристаллов, были выполнены при следующих температурах: комнатная, 345 и 475 K — в предположении, что обе аномалии теплоемкости связаны со структурными превращениями $Fm\bar{3}m(F_0) \rightarrow G_1 \rightarrow G_2$. В высокотемпературной кубической фазе уточненное значение параметра элементарной ячейки составляет $a_0 = 9.436 \cdot 10^{-10} \text{ m}$. Рентгенограммы, соответствующие двум другим температурам, практически не отличаются. На основе результатов [14], где симметрия при комнатной температуре была определена как тетрагональная $I4_1/AMD$ с учетверенным объемом элементарной ячейки ($z = 16$) по отношению к исходной ($z = 4$), рентгенограммы в фазах G_1 и G_2 были индированы в той же симметрии. Параметры ячейки Бравэ составляют для $T = 345 \text{ K}$ $a_t = 13.297 \cdot 10^{-10} \text{ m}$, $c_t = 18.552 \cdot 10^{-10} \text{ m}$ и для $T = 293 \text{ K}$ $a_t = 13.295 \cdot 10^{-10} \text{ m}$, $c_t = 18.454 \cdot 10^{-10} \text{ m}$. В последнем случае параметры удовлетворительно совпадают с определенными в [14].

2) Rb_3GaF_6 . Поляризационно-оптические наблюдения проведены на неориентированной пластинке по той же причине, что и для диспрозиевого криолита. Четкая двойниковая структура при комнатной температуре отсутствует, хотя погасание наблюдается. При нагревании в кристалле происходит интенсивное изменение интерференционной окраски в районе 378 K, обусловленное изменением двупреломления, что свидетельствует об изменении симметрии. Дальнейшее нагревание приводит к исчезновению оптической анизотропии в районе 660 K.

Измерения на калориметре ДСМ-2М выполнены в интервале температур 170–700 K. В соответствии с последовательностью ФП $G_0 \rightarrow G_1 \rightarrow G_2 \rightarrow G_3$, установленной в [13], обнаружены три аномалии теплоемкости при следующих температурах: $T_1 = 659 \pm 2 \text{ K}$, $T_2 = 374.5 \pm 2.0 \text{ K}$, $T_3 = 345 \pm 2 \text{ K}$ (рис. 2, а). При охлаждении ФП $G_0 \rightarrow G_1$ и $G_1 \rightarrow G_2$ наблюдались с соответствующими гистерезисами $\delta T_1 = 13 \text{ K}$ и $\delta T_2 = 12 \text{ K}$. Что касается аномалии при T_3 , то в режиме снижения температуры она не была зафиксирована, а при повторных нагревах ее величина зависела от температуры, до которой был предварительно охлажден образец (кривые 1–5 на рис. 2, а). На рис. 2, б

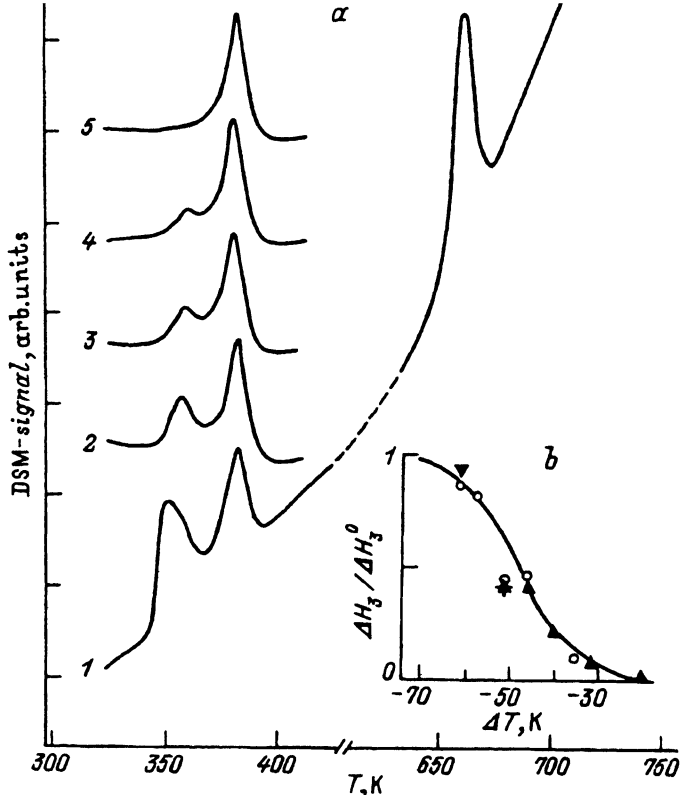


Рис. 2. а) ДСМ-кривые соединения Rb_3GaF_6 после выдержки образца в течение 40 min при температурах $T_3 = 172$ (1), 52 (2), 47 (3), 42 (4) и 32 K (5). б) Зависимость энталпии ФП G_3-G_2 от «глубины» охлаждения $\Delta T = T - T_3$ и времени выдержки: обозначения экспериментальных точек соответствуют разным временем в пределах от 2 до 120 min.

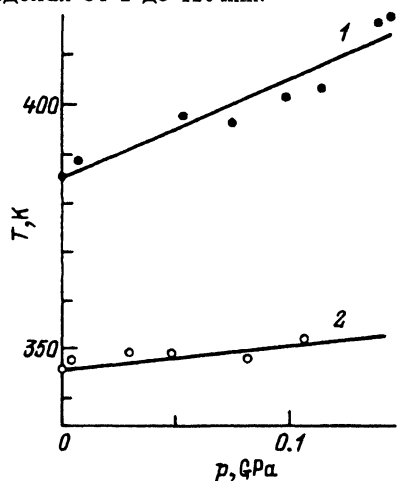


Рис. 3. Фазовая $p-T$ -диаграмма соединения Rb_3GaF_6 в области переходов $G_3-G_2-G_1$.
1 — $T_2(p)$, 2 — $T_3(p)$.

показана зависимость относительной величины энталпии $\Delta H_3/\Delta H_3^0$ от «глубины» охлаждения кристалла $\Delta T = T - T_3$. Здесь ΔH_3^0 — максимальная энталпия $\Phi\Pi G_2 \rightarrow G_3$, соответствующая энталпии образца, испытавшего цикл нагрев + последующее охлаждение до $T \approx 170$ К ($\Delta T \geq 170$ К). Примечательным является факт отсутствия строгой зависимости ΔH_3 от времени выдержки образца (по крайней мере, в пределах 2 h) при разных ΔT (рис. 2, б).

Ввиду очень высокой температуры T_1 для использованных в настоящей работе методик ни калориметрические измерения, ни ДТА-измерения под давлением для $\Phi\Pi G_0 \rightarrow G_1$ не были выполнены. Поэтому величины изменения энтропии, связанные с $\Phi\Pi$ в галлиевом криолите, определены только на основании исследования порошковых образцов и составляют $\Delta S_1 = 3.16 \pm 0.45 \text{ J} \cdot \text{mol}^{-1} \cdot \text{K}^{-1}$, $\Delta S_2 = 2.02 \pm 0.30 \text{ J} \cdot \text{mol}^{-1} \cdot \text{K}^{-1}$, $\Delta S_3 = 3.82 \pm 0.57 \text{ J} \cdot \text{mol}^{-1} \cdot \text{K}^{-1}$.

Влияние гидростатического давления на $\Phi\Pi G_1 \rightarrow G_2 \rightarrow G_3$ было изучено до 0.15 ГПа. Из-за особенности превращения при T_3 перед каждым циклом измерений образец первоначально был охлажден до 170 К. Результаты измерений представлены на рис. 3. Зависимости $T_2(p)$ и $T_3(p)$ являются линейными с коэффициентами $dT_2/dp = 149 \pm 30 \text{ K} \cdot \text{GPa}^{-1}$ и $dT_3/dp = 35 \pm 17 \text{ K} \cdot \text{GPa}^{-1}$. Значит, под давлением интервал стабильности фазы G_2 расширяется.

Как уже отмечалось выше, авторы [13], выполнившие рентгеновские и ДТА-исследования галлиевого криолита, ограничились сообщением о параметре кубической фазы и межплоскостных расстояниях только в фазах G_1 и G_3 . В настоящей работе порошковые рентгенограммы были получены во всех фазах при температурах 293, 360, 423 и 695 К. Главной особенностью всех искаженных фаз является сохранение рефлексов, присущих кубической решетке, с мало меняющейся интенсивностью. Параметр кубической ячейки, определенный для исследованного в настоящей работе кристалла ($a_0 = 9.035 \cdot 10^{-10} \text{ m}$), мало отличается от данных [13] ($a_0 = 9.02 \cdot 10^{-10} \text{ m}$). В фазе G_1 наблюдалось расщепление рефлексов, соответствующих мотиву кубической решетки, и появление сверхструктурных рефлексов. Индицирование рентгенограммы этой фазы в тетрагональной симметрии (по аналогии с Rb_3DyF_6) дает следующие параметры $a_t = 12.705 \cdot 10^{-10} \text{ m}$ и $c_t = 17.754 \cdot 10^{-10} \text{ m}$. Анализ погасаний свидетельствует о том, что тетрагональная ячейка в галлиевом кристалле может быть только примитивной (в отличие от диспрозиевого криолита, где она объемно-центрированная [13]). В фазах G_2 и G_3 появляется дополнительное расщепление рефлексов фазы G_1 .

3. Анализ и обсуждение результатов

Суммируя данные настоящих исследований Rb_3GaF_6 и Rb_3DyF_6 различными методами, можно сделать следующие выводы. Галлиевый криолит претерпевает три структурных превращения (см. таблицу), одно из которых, а именно $G_2 \rightarrow G_3$, хотя и является обратимым, характеризуется необычными условиями воспроизведения. Если для реконструктивных $\Phi\Pi$ характерна зависимость энталпии от времени пребывания в низкотемпературной фазе, то в Rb_3GaF_6 ΔH_3 существенно зависит от условий охлаждения в фазе G_3 .

Термодинамические характеристики ФП в эльпасолитах $Rb_2KB^{3+}F_6$
 $(B^{3+}: Ga, Fe, Er, Dy, Ho)$ и криолитах $Rb_3B^{3+}F_6$ ($B^{3+}: Ga, Dy$)

| Кристалл | ФП | T_i , К | δT_i , К | $\Delta S_i/R$ | $\delta S_i/R$ | ζ, GPa^{-1} | $(\delta V/V), \%$ |
|--------------------------------|-----------|-----------|------------------|----------------|----------------|-------------------|--------------------|
| $Rb_2KDy(Ho, Er)F_6$ [8,17,20] | G_0-G_1 | 370–400 | 1.3 | 0.95–1.10 | 0.45 | 0.06 | 0.06 |
| Rb_3DyF_6 | G_0-G_1 | 384 | 11.8 | 0.65 | 0.60 | 0.30 | 0.50 |
| | G_1-G_2 | 315 | 0 | 0.10 | 0 | | |
| Rb_3GaF_6 | G_0-G_1 | 659 | 13 | 0.38 | 0.38 | | |
| | G_1-G_2 | 375 | 12 | 0.25 | 0.25 | 0.40 | 0.28 |
| | G_2-G_3 | 345 | | 0.46 | 0.46 | 0.10 | 0.12 |
| $Rb_2KGa(Fe)F_6$ [5] | G_0-G_1 | 120–170 | 4.6 | 1.88 | 1.30 | 0.65 | 1.36 |

Примечание. Для эльпасолитов T_i и ΔS_i даны в интервалах возможных значений для разных кристаллов.

Хотя данные калориметрических измерений относительно низкотемпературной аномалии теплоемкости не подтверждены результатами оптических и рентгеновских исследований, вполне вероятно, что в рубидиевом криолите реализуются две ФП (см. таблицу). Поскольку величина соответствующей энтропии мала ($\Delta S_2 \approx 0.1R$), можно предполагать, что ФП сопровождается незначительным структурным искажением (как это часто случается в перовскитоподобных кристаллах), которое очень сложно зафиксировать на порошковых рентгенограммах [19]. Чтобы окончательно решить этот вопрос, необходимо выполнить, например, рентгеновские исследования на монокристаллической пластинке определенной ориентации, что позволит проследить за температурной зависимостью параметров элементарной ячейки.

Как уже неоднократно отмечалось [5,8,17], среди галоидных перовскитоподобных кристаллов именно фториды отличаются разбросом температур одних и тех же ФП в широком интервале температур для образцов разных кристаллизаций. Поэтому тот факт, что в исследованных в настоящей работе кристаллах не все температуры ФП удовлетворительно согласуются с данными [13,14], не является удивительным. В большей степени это проявилось в рубидиевом криолите: T_1 оказалась примерно на 60 К ниже установленной в [14]. В Rb_3GaF_6 величины T_1 и T_2 отличаются для разных кристаллов в пределах 1–4 К, и лишь T_3 в нашем образце примерно на 20 К ниже, чем в [13]. Правда, ФП $G_2 \rightarrow G_3$, как отмечалось выше, не может быть отнесен к обычным структурным превращениям. По данным рентгеновских исследований, спектр кубической фазы Rb_3GaF_6 является свободным от посторонних рефлексов в отличие от Rb_3DyF_6 , где, по-видимому, присутствует примесь, которая и могла повлиять на значительное понижение T_1 по сравнению с [14]. Кстати говоря, в родственных эльпасолитах ряда $Rb_2KB^{3+}F_6$ именно диспрозиевый кристалл характеризовался наиболее нестабильными значениями температуры и энтропии ФП, а также коэффициента dT_0/dp [17,20].

Полученные для Rb_3DyF_6 сведения о величинах δS_1 и dT_1/dp позволяют рассчитать, используя соотношение Клапейрона–Клаузиуса

$dT/dp = (\delta V/V)/\delta S$, скачок объема при ФП $Fm\bar{3}m \rightarrow I4_1/amd$. Он достаточно большой (см. таблицу) и сравним со скачком объема в эльпасолитах $Rb_2KGa(Fe)F_6$, также испытывающих переход в тетрагональную фазу и разрушающихся при этом, и на порядок больше, чем в эльпасолитах $Rb_2KDy(Er, Ho)F_6$ при ФП $Fm\bar{3}m \rightarrow P12_1/n1$, в результате которого последние кристаллы остаются монолитными. Значит, высказанные выше соображения о причине разрушения криолитов при охлаждении после кристаллизации являются справедливыми.

Хотя для галлиевого криолита не проведены измерения теплоемкости в адиабатическом калориметре, большие величины δT , позволяют считать, что ФП в этом кристалле далеки от трикритической точки. Поэтому в таблице приравнены величины ΔS_i и δS_i . Скачок объема в Rb_3GaF_6 мог быть рассчитан только для ФП $G_1 \rightarrow G_2 \rightarrow G_3$ (см. таблицу).

Особенности механизмов ФП в кристаллах с родственными структурами обязательно проявляются в энергетических характеристиках. Рассмотрим, какие последствия вызывает замещение атомов в позиции $8c$ структуры эльпасолита атомами тех же химических элементов, что и атомы, занимающие позицию $4b$, в результате чего реализуется криолитный тип структуры (см. таблицу). При замене в эльпасолите Rb_2KGaF_6 K^+ на Rb^+ наблюдается значительный рост температуры потери устойчивости кубической фазы и ее гистерезиса, полное изменение энтропии $\sum \Delta S_i$ становится существенно меньше. В диспрозиевом криолите для почти неизменной по сравнению с эльпасолитом температуры T_1 характерны уменьшение ΔS_1 и возрастание на порядок величин δT_1 и приведенного сдвига T_1 под гидростатическим давлением $\zeta = T^{-1}dT/dp$. Таким образом, независимо от замещений ФП из кубической фазы остается превращением первого рода в сравниваемых кристаллах $Rb_2K(Rb)B^{3+}F_6$. Широкий спектр величин термодинамических параметров ФП $G_0 \rightarrow G_1$ может трактоваться как следствие по крайней мере разных искажений структуры в фазе G_1 .

Здесь уместно возвратиться к вопросу о симметрии фазы G_1 в кристалле Rb_3DyF_6 . Из симметрийного анализа решеточных колебаний и возможных искаженных фаз в структуре эльпасолита (криолита) [21] следует, что если ФП связан с одним колебательным представлением, то максимальное отношение объемов примитивных ячеек исходной и искаженной фаз не может быть больше $n = 4$. Выбранная в [13] пространственная группировка $I4_1/amd$ соответствует увеличению объема в восемь раз. Такой вариант возможен, по-видимому, если ФП связан одновременно с двумя неприводимыми представлениями и реализуется как триггерный. В пользу последнего обстоятельства в случае Rb_3DyF_6 свидетельствует ярко выраженный характер превращения первого рода (значительный гистерезис δT_1 и условие $\delta S_1 \approx \Delta S_1$).

Для описания ФП типа смешения в перовскитоподобных кристаллах была предложена концепция напряженностей связей [22], позволяющая учесть роль различных (критических и некритических) атомов в механизме структурных искажений. Согласно этой концепции, температура ФП, связанного только с поворотами октаэдрических ионных групп, определяется соотношением ионных радиусов R атомов, составляющих кристаллическую решетку, и параметрами элементарной ячейки a_0 . Увеличение напряженности связи $\mu_B = [1 - a_0/2(R_B + 2R_X + R_{B^{3+}})]$

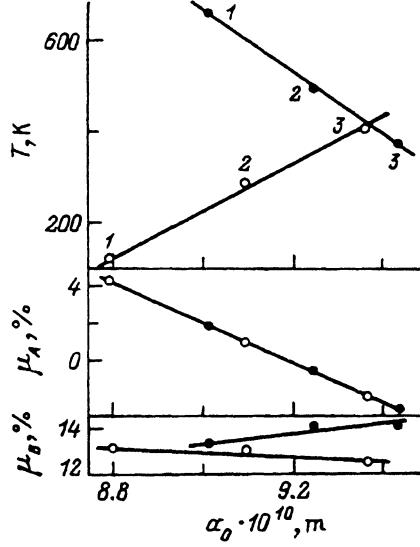


Рис. 4. Зависимости температуры $\Phi\text{П}$ $Fm3m-G_1$ и напряженностей связей μ_A и μ_B от параметра a_0 для криолитов $Rb_3B^{3+}F_6$ (темные кружки) и эльпасолитов $Rb_2KB^{3+}F_6$ (светлые кружки).

B^{3+} : 1 — Ga, 2 — In, 3 — Dy.
Данные для индиевых соединений
заимствованы из [25, 26].

между атомами $B^+-X^- - B^{3+}-X^- - B^+$ (для криолитов и эльпасолитов), расположенными на ребре ячейки, приводит к увеличению анизотропии колебаний атомов X^- и вытеснению их из положения на ребре, способствуя поворотам октаэдров и, таким образом, возрастанию температуры $\Phi\text{П}$. От соотношения размеров ионов A^+ и X^- , определяющего напряженность связи $\mu_A = [1 - a_0/2\sqrt{2}(R_A + R_X)]$, устойчивость исходной фазы зависит следующим образом: повороту октаэдров (росту T_0) способствует уменьшение μ_A . Справедливость этой гипотезы не была подвергнута сомнению практически ни в одном из случаев, когда искажения решетки могут быть представлены главным образом в виде поворотов на малые углы октаэдрических ионных групп (или смещений атомов X) [23, 24]. Таким образом, соотношения между T_0 и μ_A , μ_B связаны в какой-то степени с механизмом $\Phi\text{П}$. В этой связи представляют интерес сравнение термодинамических параметров рядов эльпасолита $Rb_2KB^{3+}F_6$ и криолита $Rb_2RbB^{3+}F_6$ с одним набором атомов B^{3+} (Ga, In, Dy) (рис. 4). Как видно, в ряду эльпасолитов, где в каждом из трех кристаллов реализуются разного типа $\Phi\text{П}$, во определяющими искажениями являются, по-видимому, повороты октаэдров, зависимость температуры стабильности кубической фазы от размера элементарной ячейки описывается в рамках концепции напряженостей связей. Что касается криолитов, то здесь наблюдается полное противоречие концепции: T_1 растет при одновременном уменьшении μ_B и увеличении μ_A . При этом изменение размера октаэдра B^+F_6 не изменило характера поведения $\mu_A(a_0)$ (рис. 4). С нашей точки зрения, совокупность этих фактов свидетельствует о том, что в криолитах $Rb_2RbB^{3+}F_6$ параметр порядка $\Phi\text{П}$ из кубической фазы, скорее всего, не определяется малыми смещениями атомов фтора. Следует также обратить внимание на поведение под давлением температур $\Phi\text{П}$ в криолитах. Как и для многих перовскитоподобных кристаллов [23], в них выполняется условие $dT_i/dp > 0$. В то же время наблюдающаяся линейность функций $T_i(p)$ также не свойственна фтористым эльпасолитам, в которых искажения

описываются главным образом поворотами октаэдров [23]. С другой стороны, результаты калориметрических измерений свидетельствуют о сравнительно небольших величинах энтропий $\Phi\pi$ ($0.1-0.7)R$ в криолитах Rb_3DyF_6 и Rb_3GaF_6 . Особенность это ощущается при сравнении с криолитами с аммонийным катионом, где аномально большие энтропии $\Delta S_1 \approx 2,8R$ объясняются в основном появлением полного упорядочения октаэдрических ионных групп в низкотемпературной фазе [10-12]. Таким образом, можно предполагать, что замещение катиона на атомарный также приводит к изменению механизма $\Phi\pi$.

Авторы признательны С.В. Мельниковой за поляризационно-оптические измерения, К.С. Александрову и С.В. Мисюлю за обсуждение результатов.

Работа выполнена при финансовой поддержке Красноярского краевого фонда науки (проект 4F 0047).

Список литературы

- [1] Флеров И.Н., Горев М.В., Усачев А.Е. ФТТ **36**, 1, 106 (1994).
- [2] Couzi M., Khairoun S., Tressaud A. Phys. Stat. Sol. (a) **98**, 1, 423 (1986).
- [3] Bührer W., Güdel H.U. J. Phys. C: Sol. Stat. Phys. **20**, 25, 3809 (1987).
- [4] Александров К.С., Мисюль С.В. Кристаллография **26**, 8, 1074 (1981).
- [5] Горев М.В., Флеров И.Н., Воронов В.Н., Трессо А., Граннек Ж., Шаминад Ж.-П. ФТТ **36**, 4, 1121 (1994).
- [6] Горев М.В., Флеров И.Н. ФТТ **34**, 8, 2614 (1992).
- [7] Флеров И.Н., Горев М.В., Мельников С.В., Мисюль С.В., Воронов В.Н., Александров К.С. ФТТ **34**, 7, 2185 (1992).
- [8] Flerov I.N., Gorev M.V., Voronov V.N., Tressaud A., Grannek J., Guengard H. Ferroelectrics **168**, 1-2, 55 (1995).
- [9] Александров К.С., Мисюль С.В. Препринт ИФ СО АН СССР № 654Ф. Красноярск (1980). 39 с.
- [10] Moriya K., Matsuo T., Suga H., Seki S. Bull. Chem. Soc. Jpn. **50**, 8, 1920 (1977).
- [11] Moriya K., Matsuo T., Suga H., Seki S. Bull. Chem. Soc. Jpn. **52**, 11, 3152 (1979).
- [12] Kobayashi K., Matsuo T., Suga H., Khairoun S., Tressaud A. Solid State Commun. **53**, 8, 719 (1985).
- [13] Chassaing J. Rev. de Chim. Mineral. **5**, 1115 (1968).
- [14] Kozak A., Almai M., Samouel M. Rev. de Chim. Mineral. **16**, 441 (1979).
- [15] Dance J.M., Grannek J., Tressaud A., Moreno M., Rodriguez F., Marco de Lucas M. Phys. Stat. Sol (b) **173**, 2, 579 (1992).
- [16] Горев М.В., Бовина А.Ф., Бондаренко Г.В., Флеров И.Н., Трессо А., Граннек Ж. ФТТ **37**, 3, 819 (1995).
- [17] Горев М.В., Флеров И.Н., Воронов В.Н., Мисюль С.В. ФТТ **35**, 4, 1022 (1993).
- [18] Флеров И.Н., Горев М.В. ФТТ **34**, 8, 2555 (1992).
- [19] Aleksandrov K.S., Melnikova S.V., Misyl S.V. Phys. Stat. Sol. (a) **104**, 545 (1987).
- [20] Воронов В.Н., Горев М.В., Мельникова С.В., Мисюль С.В., Флеров И.Н. ФТТ **33**, 10, 2945 (1991).
- [21] Мисюль С.В. Кристаллография **29**, 5, 941 (1984).
- [22] Александров К.С., Анистратов А.Т., Безносиков Б.В., Федосеева Н.Ф. Фазовые переходы в кристаллах галоидных соединений ABX_3 . Новосибирск (1981). 264 с.
- [23] Флеров И.Н., Горев М.В., Александров К.С. ФТТ **35**, 6, 1657 (1993).
- [24] Flerov I.N., Gorev M.V., Aleksandrov K.S. Ferroelectrics **169**, 1-4, 199 (1995).
- [25] Grannek J., Champragnaud-Mesjard J.C. Rev. Chim. Miner. **9**, 569 (1972).
- [26] Флеров И.Н., Горев М.В., Мельникова С.В., Мисюль С.В., Воронов В.Н., Александров К.С., Трессо А., Граннек Ж., Шаминад Ж.-П., Рабардель Л., Гэнгар Х. ФТТ **34**, 11, 3493 (1992).